

# ΕΕ725 - Ειδικά Θέματα Ψηφιακών

## Επιχονιωνιών

Δημήτρης - Αλέξανδρος Γουμπακάρης

5ο Μέσημα - 16 Νοεμβρίου 2007

# Περιεχόμενα σημερινού μαθήματος

---

- Κωπηγορίες Αστερισμών
  - Ciolfi Ch. 1
- PAM και QAM

## Πώς συγχρίνουμε διαφορετικές διαμορφώσεις μεταξύ τους:

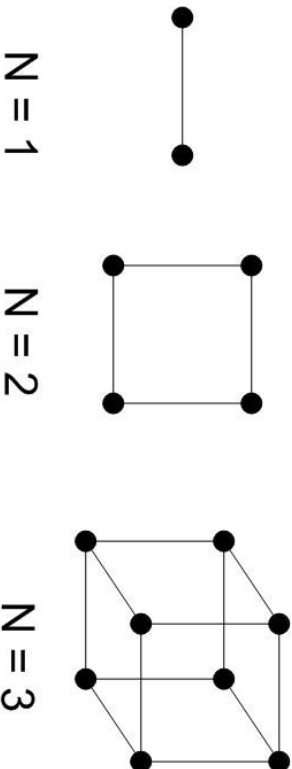
---

- Για να υλοποιήσουμε τις συναρτήσεις βάσης οι οποίες χρησιμοποιούνται για τη διαμόρφωση χρησιμοποιούμε τους πόρους του καναλιού: χρόνο, συχνότητα και χώρο. Κάθε μία από τις  $N$  διαστάσεις έχει κόστος γιατί απαιτεί χρήση κάποιων από τους πόρους του συστήματος.
- Για παράδειγμα, ένα σύστημα 2 διαστάσεων μπορεί να υλοποιείται με εναλλάξ μετάδοση στο χρόνο κάθε διάστασης ή με χρήση δύο περιοχών συχνοτήτων.
- Για δίκαιη σύγκριση συστημάτων, πρέπει να λαμβάνονται υπόψη όλες οι παρακάτω ποσότητες:
  1. Ο ρυθμός μετάδοσης  $R$ .
  2. Η χρησιμοποιόμενη ισχύς  $P_x$ .
  3. Το συνολικό εύρος ζώνης  $W$  που χρησιμοποιεί το σύστημα.
  4. Η περίοδος  $T_s$  που διαρκεί η μετάδοση κάθε συμβόλου.
  5. Το BER ή  $P_e$ .
- Αν οι παραπάνω ποσότητες κανονικοποιηθούν κατάλληλα, 3 ποσότητες αφούν για σύγκριση συστημάτων: **1.** Ο ρυθμός φηφίων ανά διάσταση  $\bar{b} = \frac{b}{N}$ , **2.** Η ενέργεια ανά διάσταση  $\bar{\mathcal{E}}_x = \frac{\mathcal{E}_x}{N}$  και **3.** Η κανονικοποιημένη πιθανότητα σφάλματος  $\bar{P}_e = \frac{P_e}{N}$ .

# Κυβικοί Αστερισμοί (Cubic Constellations)

---

- Αριθμός διαστάσεων  $N =$  αριθμός bits  $b$ .
- Αντιστοιχία μίας συνάρτησης βάσης  $\phi_m$  σε κάθε bit.
- Γραμμική διαμόρφωση.
- Χρησιμοποιούνται συχνά σε απλά κανάλια.



## Κυβικοί Αστερισμοί – Παραδείγματα

---

- Binary Antipodal: 2 σήματα ( $N=1$ ),  $x_0(t) = \sqrt{\mathcal{E}_x}\phi(t) = -x_1(t)$ .
  - Binary Phase Shift Keying (BPSK):  $\phi(t) = \sqrt{\frac{2}{T}} \sin \frac{2\pi t}{T}$ ,  $t \in [0, T]$ , 0 αλλού.
- Bipolar (NRZ):  $\phi(t) = \frac{1}{\sqrt{T}}$ ,  $t \in [0, T]$ , 0 αλλού.
- Κωδικοποίηση Manchester (Bi-phase level):  $\phi(t) = \begin{cases} \frac{1}{\sqrt{T}}, & t \in [0, \frac{T}{2}] \\ -\frac{1}{\sqrt{T}}, & t \in [\frac{T}{2}, T] \\ 0 & \text{αλλού} \end{cases}$ 
  - Τι εύρος ζώνης απαιτεί κάθε μία από τις παραπάνω  $\phi(t)$ ;
- On-Off Keying (OOK): 2 σήματα ( $N=1$ ),  $x_0(t) = \sqrt{2\mathcal{E}_x}\phi(t)$ .  $x_1(t) = 0$ .
  - $\phi(t) = \frac{1}{\sqrt{T}}$ ,  $t \in [0, T]$ , 0 αλλού.
  - Υποδεέστερη κατά 3 dB σε σχέση με binary antipodal αστερισμούς (γιατί;)
  - Χρησιμοποιείται σε οπτικά συστήματα.

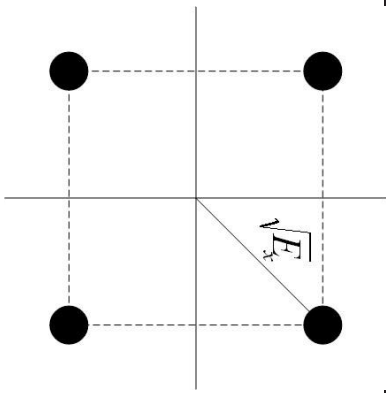
## Kυβικό Αστερισμού – Παραδείγματα – QPSK

---

- Quadrature Phase Shift Keying (QPSK): 4 σηματά (2 bits →  $N = 2$ ).
- $\phi_1(t) = \sqrt{\frac{2}{T}} \cos \frac{2\pi t}{T}$ ,  $t \in [0, T]$ , 0 αλλού.  $\phi_2(t) = \sqrt{\frac{2}{T}} \sin \frac{2\pi t}{T}$ ,  $t \in [0, T]$ , 0 αλλού.  
$$\mathbf{x} = [x_1 \ x_2] = \begin{cases} \sqrt{\frac{\mathcal{E}_x}{2}}[-1 \ -1] \\ \sqrt{\frac{\mathcal{E}_x}{2}}[-1 \ +1] \\ \sqrt{\frac{\mathcal{E}_x}{2}}[+1 \ -1] \\ \sqrt{\frac{\mathcal{E}_x}{2}}[+1 \ +1] \end{cases}$$
- Έδιο εύρος ζώνης με τη BPSK.  $d_{\min, \text{BPSK}}^2 = 2d_{\min, \text{QPSK}}^2$ . Ωστόσο, εάν η ενέργεια ανά διάσταση της QPSK ισούται με την ενέργεια της BPSK η  $\bar{P}_e$  της QPSK ισούται με την  $P_e$  της BPSK.

## QPSK: Υπολογισμός $P_e$

---



- Θεωρούμε ότι όλα τα σήματα μεταδίδονται με την ίδια πιθανότητα.
- Πιθανότητα σωστής λήψης:  $P_c = \sum_{i=0}^3 P_{c|i} p_{x_i} = P_{c|i} \stackrel{\text{για τις}}{=} \left(1 - Q\left[\frac{d_{\min}}{2\sigma}\right]\right) \left(1 - Q\left[\frac{d_{\min}}{2\sigma}\right]\right) = 1 - 2Q\left[\frac{d_{\min}}{2\sigma}\right] + \left(Q\left[\frac{d_{\min}}{2\sigma}\right]\right)^2$ .
- Πιθανότητα σφάλματος:  $P_e = 1 - P_c = 2Q\left[\frac{d_{\min}}{2\sigma}\right] - \left(Q\left[\frac{d_{\min}}{2\sigma}\right]\right)^2 < 2Q\left[\frac{d_{\min}}{2\sigma}\right]$   
 $(\text{NNUB}) \Rightarrow \bar{P}_e \approx Q\left[\frac{d_{\min}}{2\sigma}\right] = Q\left[\frac{\sqrt{2\varepsilon_x}}{2\sigma}\right] = Q\left[\frac{2\sqrt{\varepsilon_x}}{2\sigma}\right] = Q\left[\frac{d_{\min, \text{BPSK}}}{2\sigma}\right]$ .

## Ορθογώνιοι Αστερισμοί (Orthogonal Constellations)

---

- Για τους κυβικούς αστερισμούς είδαμε ότι  $N = b$ .
- Στους ορθογώνιους αστερισμούς, ο αριθμός σημάτων  $M$  είναι ανάλογος της διάστασης. Επομένως,  $M = \alpha N \Rightarrow b = \log_2 M = \log_2 \alpha N \Rightarrow \bar{b} = \frac{b}{N} = \frac{\log_2 \alpha N}{N}$ .
- Ο αριθμός των bits ανά διάσταση ελαχτώνεται όσο αυξάνεται το  $N$ !

## Παραδείγματα ορθογώνιων αστερισμών

---

- Block orthogonal:  $M = N \Rightarrow$  Μία συνάρτηση βάσης για κάθε σήμα.
  - $\mathbf{x}_i = [0 \dots 0 \sqrt{\mathcal{E}_x} 0 \dots 0]$ .  $x_i(t) = \sqrt{\mathcal{E}_x} \phi_i(t)$ .
  - Frequency Shift Keying (FSK):  $\phi_m(t) = \sqrt{\frac{2}{T}} \sin \frac{m\pi t}{T}$ ,  $t \in [0, T]$ , 0 άλλού.
  - Ποιά είναι  $\eta d_{\min}$  των block orthogonal;
  - $P_e$  του block orthogonal αστερισμού (βλ. π.χ. Cioffi Ch. 1):
$$P_e = 1 - \int_{-\infty}^{\infty} \frac{1}{\sqrt{2\pi\sigma^2}} e^{-\frac{1}{2\sigma^2}(u-\sqrt{\mathcal{E}_x})^2} [1 - Q(u/\sigma)]^{N-1} du.$$
  - Η  $E[\mathbf{x}]$  του αστερισμού block orthogonal είναι μη μηδενική (και ίση με  $(\sqrt{\mathcal{E}_x}/M)[1 \ 1 \ \dots \ 1]$ ).
- Αστερισμός simplex: Block orthogonal μεταποιημένος κατό –( $\sqrt{\mathcal{E}_x}/M)[1 \ 1 \ \dots \ 1]$ ) ώστε  $\eta E[\mathbf{x}]$  να ισούται με 0 (και να ελαχιστοποιηθεί, έτσι, η μέση ενέργεια).  
Τα σήματα δεν είναι, πλέον, ορθογώνια μεταξύ τους.

---

## Παραδείγματα ορθογώνιων αστερισμών (2)

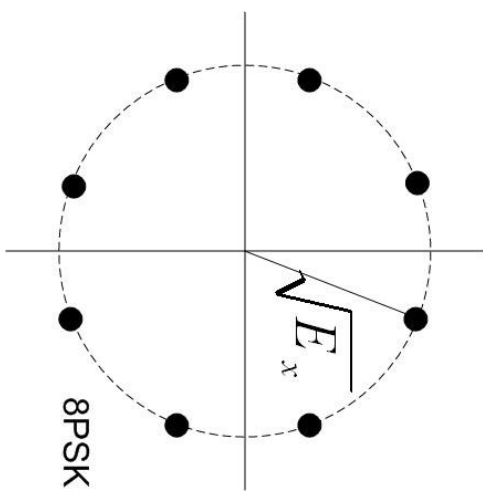
---

- **Biorhogonal** αστερισμού: Προκύπτουν από τους ορθογώνιους αστερισμούς με προσθήκη του αυτίθετου σήματος  $-x$  για κάθε σήμα  $x$ .  
$$- P_{e, \text{biorhogonal}} = 1 - \int_0^{\infty} \frac{1}{\sqrt{2\pi}\sigma^2} e^{-\frac{1}{2\sigma^2}(u-\sqrt{\varepsilon_x})^2} [1 - 2Q(u/\sigma)]^{N-1} du.$$
- **Pulse Position Modulation (PPM):** Παλμοί σε διαφορετική θέση στο χρόνο.
- **Pulse Duration Modulation (PDM):** Παλμοί διαφορετικής διάρκειας. Τα σήματα δεν είναι ορθογώνια. Χρήση σε οπτική αποθήκευση δεδομένων (π.χ. CD).

# Κυκλικοί Αστερισμοί (Circular Constellations) – MPSK

---

- Τα σήματα του αστερισμού τοποθετούνται επάνω σε κύκλο απόντας  $\sqrt{\mathcal{E}_x}$ , και σε ίσες μεταξύ τους αποστάσεις.  $N = 2$ .
- Μόνο η φάση των σημάτων διαφέρει  $\Rightarrow$  MPSK κατάλληλη για διαμόρφωση σε κανάλια με μη γραμμική παραμόρφωση πλάτους (π.χ. κανάλια διαλεγέψεων).
- ΝΝUB:  $P_e < 2Q \left[ \frac{\sqrt{\mathcal{E}_x} \sin \frac{\pi}{M}}{\sigma} \right]$ .



## PAM και QAM

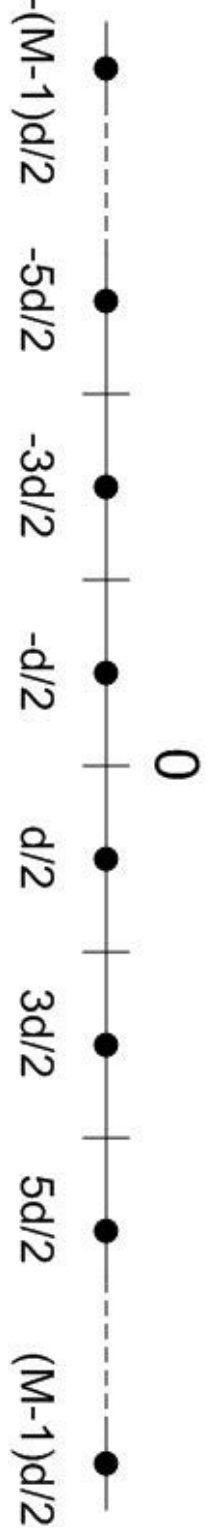
---

- Κατηγορίες Αστερισμών
- |             |
|-------------|
| PAM και QAM |
|-------------|

  - Cioffi Ch. 1

# Διαμόρφωση Πλάτους Παλμού Pulse Amplitude Modulation – PAM

---



- $N = 1$  διάσταση.  $M$  σύμβολα  $\Rightarrow \log_2 M$  bits / μετάδοση.

- Συνήθως  $\phi(t) = \frac{1}{\sqrt{T}} \text{sinc}\left(\frac{t}{T}\right)$  ή raised cosine.

- $d_{\min} = d$ .

• Με πρότζεκτ (βλ. π.χ. Cioffi Ch. 1):

$$\mathcal{E}_x = \bar{\mathcal{E}}_x = \frac{d^2}{12} [M^2 - 1]$$

$$d = \sqrt{\frac{12\mathcal{E}_x}{M^2 - 1}} \Rightarrow M = \sqrt{\frac{12\mathcal{E}_x}{d^2} + 1} \Rightarrow b = \log_2 M = \frac{1}{2} \log_2 \left( \frac{12\mathcal{E}_x}{d^2} + 1 \right)$$

## Pulse Amplitude Modulation – ΡΑΜ (2)

---

- $\mathcal{E}_x(b+1) = 4\mathcal{E}_x(b) + \frac{d^2}{4}$ . Για αρκούντως μεγάλες τιμές του  $b$  απαιτείται 4πλάσια ενέργεια ( $\sim 6$  dB επιπλέον) για τη μετάδοση ενός επιπλέον bit.
- Υπολογισμός πιθανότητας σφάλματος:
  - Για τα  $M - 2$  εσωτερικά σημεία:  $P_{c|i} = 1 - 2Q\left(\frac{d}{2\sigma}\right)$ .
  - Για τα 2 εξωτερικά σημεία:  $P_{c|i} = 1 - Q\left(\frac{d}{2\sigma}\right)$ .
  - Επομένως,  $P_c = \frac{M-2}{M}\left(1 - 2Q\left(\frac{d}{2\sigma}\right)\right) + \frac{2}{M}\left(1 - Q\left(\frac{d}{2\sigma}\right)\right) = 1 - 2\left(1 - \frac{1}{M}\right)Q\left(\frac{d}{2\sigma}\right) \Rightarrow P_e = \bar{P}_e = 2\left(1 - \frac{1}{M}\right)Q\left(\frac{d}{2\sigma}\right) < 2Q\left(\frac{d}{2\sigma}\right)$
  - Η προσέγγιση (NNUB) γίνεται πιο ακριβής καθώς  $M \rightarrow \infty$ .

– Με χρήση σχέσεων της προηγουμένης διαφάνειας,

$$P_e = 2\left(1 - \frac{1}{M}\right)Q\left(\sqrt{\frac{3}{M^2 - 1}\text{SNR}}\right)$$

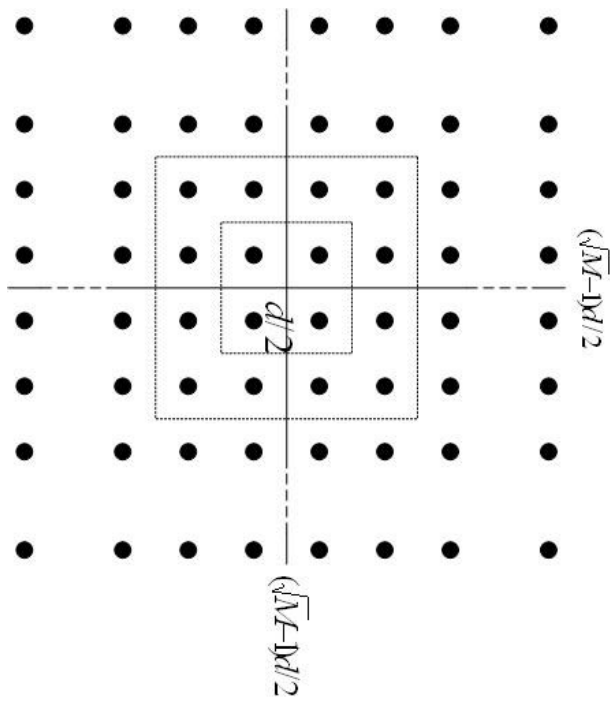
## Pulse Amplitude Modulation – PAM (3)

Στον πίνακα (βλ. επίσης Cioffi Ch. 1) έχει υπολογιστεί ο απαιτούμενος SNR για σταθερή  $P_e = 10^{-6}$  και διαφορετικό αριθμό bits/μετάδοση. Επίσης, έχει υπολογιστεί η τιμή του SNR για σποία απαιτείται ώστε η χωρητικότητα του καναλιού AWGN να ισούται με  $b$  bits/μετάδοση. Παρατηρούμε ότι η διαμόρφωση PAM για  $P_e = 10^{-6}$  έχει απώλειες περίπου 9 dB σε σχέση με τη βέλτιστη διαμόρφωση με την οποία επιτυγχάνεται ρυθμός μετάδοσης ίσος με τη χωρητικότητα του καναλιού.

$b$	$M$	$\frac{d}{2\sigma} \gamma \alpha$ $P_e = 10^{-6}$ [dB]	SNR [dB]	$\alpha \bar{\gamma} \eta \sigma$ του SNR [dB]	$2^{2b} - 1$ [dB]
1	2	13.53	13.53	—	4.77
2	4	13.69	20.68	7.15	11.76
3	8	13.75	26.97	6.29	17.99
4	16	13.77	33.06	6.09	24.07
5	32	13.78	39.10	6.04	30.10
6	64	13.79	45.14	6.04	36.12

# Διαμόρφωση Πλάτους με Ορθογωνισμό Φάσης Quadrature Amplitude Modulation – QAM

---



- Γενίκευση της PAM σε  $N = 2$  διαστάσεις.
- Στο σχήμα απεικονίζεται ο αστερισμός Square QAM (SQ-QAM) ο οποίος αντιστοιχεί σε ζυγό αριθμού bits  $b$ .

## Quadrature Amplitude Modulation – QAM (2)

---

- Ως συναρτήσεις βάσης συνήθως χρησιμοποιούνται οι  $\phi_1(t) = \sqrt{\frac{2}{T}} \text{sinc}(\frac{t}{T}) \cos(2\pi f_c t)$  και  $\phi_2(t) = \sqrt{\frac{2}{T}} \text{sinc}(\frac{t}{T}) \sin(2\pi f_c t)$  → ζωνοπερατή (bandpass) μετάδοση
- Μέση ενέργεια αστερισμού SQ-QAM: Με πρόξεις (βλ. π.χ. Cioffi Ch. 1),  $\mathcal{E}_{M-\text{QAM}} =$

$$2\mathcal{E}_{\sqrt{M}-\text{PAM}} \Rightarrow \boxed{\mathcal{E}_{M-\text{QAM}} = d^2 \frac{M-1}{6}}$$

$$\Rightarrow \bar{\mathcal{E}}_{M-\text{QAM}} = d^2 \frac{M-1}{12} \Rightarrow$$

$$\boxed{d = \sqrt{\frac{6\mathcal{E}_x}{M-1}}} \Rightarrow M = \frac{6\mathcal{E}_x}{d^2} + 1 \Rightarrow \boxed{\bar{b} = \frac{1}{2} \log_2 \left( \frac{6\mathcal{E}_x}{d^2} + 1 \right) = \frac{1}{2} \log_2 \left( \frac{12\bar{\mathcal{E}}_x}{d^2} + 1 \right)},$$

ίσο με την PAM (λογικό – για τι;

## Quadrature Amplitude Modulation – QAM (3)

---

- $\mathcal{E}_x(b+1) = 2\mathcal{E}_x(b) + \frac{d^2}{6}$ . Για αρκούντως μεγάλες τιμές του  $b$  απαιτείται διπλάσια ενέργεια ( $\sim 3$  dB επιπλέον) για τη μετάδοση επιπλέον bit (ανά διδιόστατο σύμβολο).
- Τηλογισμός πιθανότητας σφάλματος:
  - Για τα 4 γωνιακά σημεία:  $P_{c|i} = \left(1 - Q\left(\frac{d}{2\sigma}\right)\right)^2$
  - Για τα  $(\sqrt{M} - 2)^2$  εσωτερικά σημεία:  $P_{c|i} = \left(1 - 2Q\left(\frac{d}{2\sigma}\right)\right)^2$
  - Για τα  $4(\sqrt{M} - 2)$  πλευρικά σημεία:  $P_{c|i} = \left(1 - Q\left(\frac{d}{2\sigma}\right)\right)\left(1 - 2Q\left(\frac{d}{2\sigma}\right)\right)$
- Με πρόξεις,
 

$$P_e = 2\bar{P}_e = 4 \left(1 - \frac{1}{\sqrt{M}}\right) Q\left(\frac{d}{2\sigma}\right) - 4 \left(1 - \frac{1}{\sqrt{M}}\right)^2 \left(Q\left(\frac{d}{2\sigma}\right)\right)^2$$
- $\bar{P}_e < 2 \left(1 - \frac{1}{\sqrt{M}}\right) Q\left(\frac{d}{2\sigma}\right) = 2 \left(1 - \frac{1}{\sqrt{M}}\right) Q\left(\sqrt{\frac{3}{M-1} \text{SNR}}\right)$
- Το SNR είναι ανά διάσταση ( $= \bar{\mathcal{E}}_x / \sigma^2$ ).
  - Η προσέγγιση  $\overline{\text{NNUB}}$  γίνεται πιο ακριβής καθώς  $M \rightarrow \infty$ .

# Quadrature Amplitude Modulation – QAM (4)

Στον πίνακα (βλ. επίσης Cioffi Ch. 1) έχει υπολογιστεί ο απαιτούμενος SNR για σταθερή  $\bar{P}_e = 10^{-6}$  και διαφορετικό αριθμό bits/μετάδοση. Επίσης, έχει υπολογιστεί η τιμή του SNR για αποία απαιτείται ώστε η χωρητικότητα του καναλιού AWGN να ισούται με  $b$  bits/μετάδοση. Παρατηρούμε ότι η διαμόρφωση QAM για  $P_e = 10^{-6}$  έχει απώλειες περίπου 9 dB σε σχέση με τη βέλτιστη διαμόρφωση την οποία επιτυγχάνεται ρυθμός μετάδοσης ίσος με τη χωρητικότητα του καναλιού.

$b = 2\bar{b}$	$M$	$\frac{d}{2\sigma} \gamma \alpha$ $\bar{P}_e = 10^{-6}$ [dB]	SNR [dB]	αύξηση του SNR ανά bit [dB]	$2^{2\bar{b}} - 1$ [dB]
2	4	13.53	13.53	—	4.77
4	16	13.69	20.68	3.58	11.76
6	64	13.75	26.97	3.15	17.99
8	256	13.77	33.06	3.05	24.07
10	1024	13.78	39.10	3.02	30.10
12	2048	13.79	45.14	3.02	36.12

## Παράδειγμα: Ψηφιακή Δορυφορική Εκπομπή (Cioffi 1.6.3)

---

- Διαιρόρφωση: 4-QAM.
- 20 φέρουσες, μεταξύ 12.2 και 12.7 GHz.
- Ρυθμός μετάδοσης συμβόλου (symbol rate):  $\frac{1}{T} = 19.151$  MHz.
- Εύρος ζώνης: 24 MHz. Γιατί δεν είναι ίσο με  $\frac{1}{T}$ ;
- Επομένως, ρυθμός μετάδοσης δεδομένων (data rate):  $R = 38.302$  Mbps σε κάθε φέρουσα.
- Για τη μετάδοση video απαιτούνται περίπου 2-3 Mbps → έως 16 κανάλια ανά φέρουσα.
- Για τα αναλογικά κανάλια χρησιμοποιείται κανάλι 24 MHz. Επομένως, με την ψηφιακή μετάδοση έχουμε εξουκιούρη φάσματος. Αυτό οφείλεται σε μεγάλο βαθμό στη συμπίεση του video.
- Παρατηρήστε ότι ο ρυθμός μετάδοσης δεδομένων εξαρτάται από το εύρος ζώνης, αλλά δεν ισούται με αυτό. Η υστητα ισχύει μόνο στην περίπτωση που στέλνεται 1 bit/μετάδοση.